

Mjerenje vremena polurasapda neparno-neparnih jezgara bogatih protonima

GIOVANNI URSI

MENTOR: DR.SC. MILIVOJ UROIĆ, IRB

Radioaktivni raspad

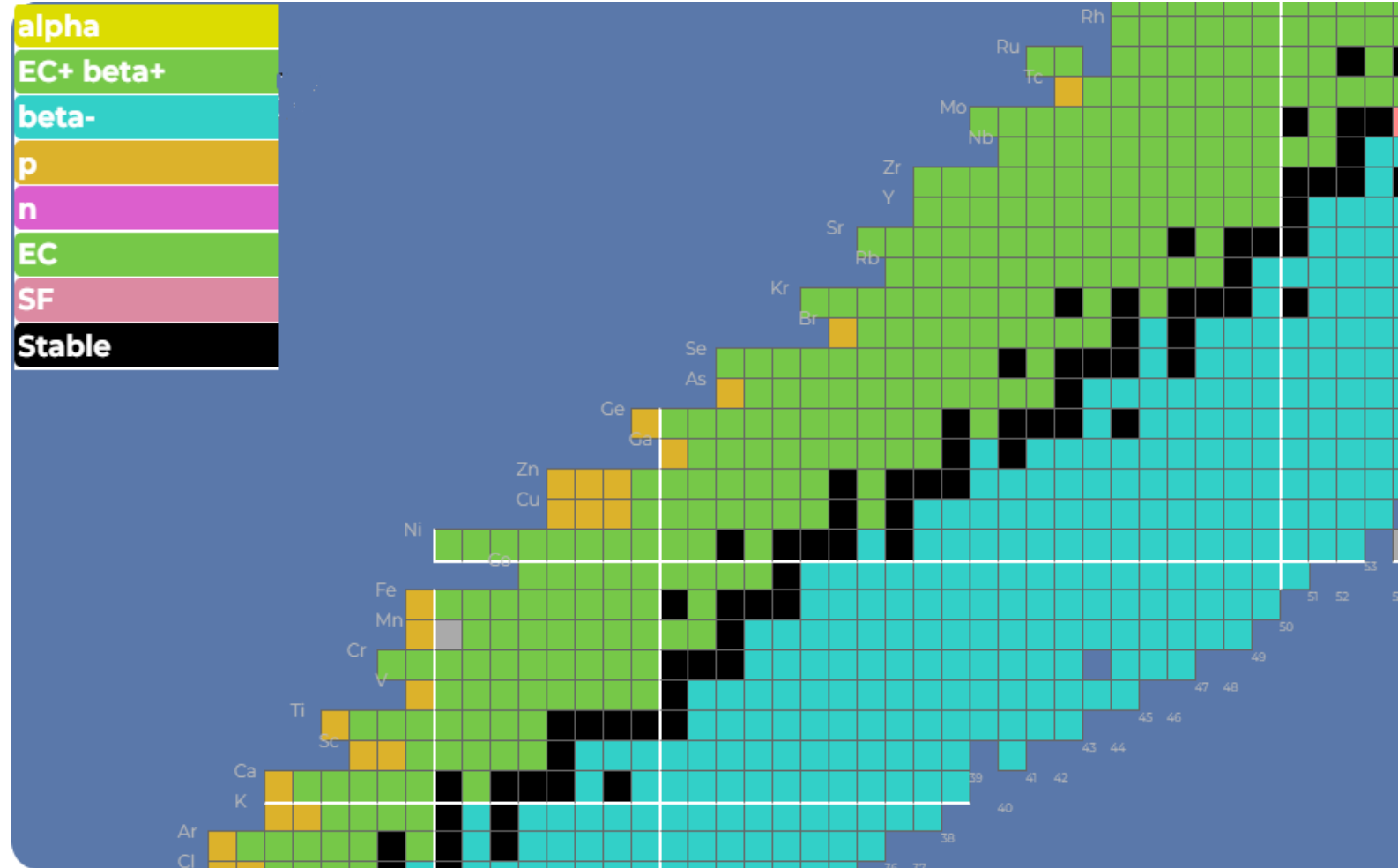
Nestabilne jezgre emitiraju čestice ili EM zračenje

Stabilne jezgre imaju $N \approx Z$

Neparno-neparne jezgre su nestabilnije

Jezgre bogate neutronima: β^- raspad

Jezgre bogate protonima: β^+ raspad ili uhvat elektrona (EC)



Radioaktivni raspad

Vjerojatnost raspada jezgre je konstantna u vremenu – broj raspada je proporcionalan broju atoma

Zakon radioaktivnog raspada $N(t) = N_0 e^{-\lambda t}$

Aktivnost uzorka $A(t) = -\frac{dN}{dt} = \lambda N$

Vrijeme poluraspada (poluživota) $T_{1/2} = \frac{\ln 2}{\lambda}$

Neutronska aktivacija

Induciranje radioaktivnosti bombardiranjem česticama, tipično neutronima

Prednost: nema EM interakcije s jezgrom

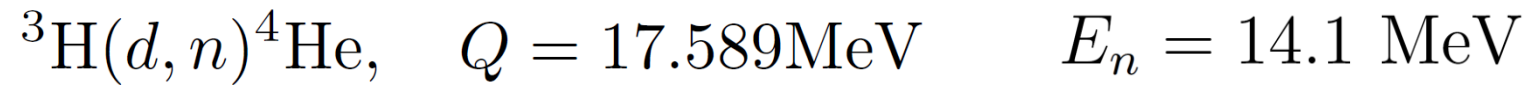
Izvori neutrona:

- nestabilne jezgre, npr. ^{252}Cf
- akceleratori

Termalizirani neutroni: $E_k \approx 0.025$ eV induciraju (n, α) ili (n, γ) reakcije

Brzi neutroni: $500 \text{ keV} < E_k < 20 \text{ MeV}$ induciraju (n,2n), (n,p), (n, α) reakcije

D-T reakcija



Nastali neutroni su monoenergetski i izotropni

Rezonancija reakcije za $E_d = 108 \text{ keV}$ ($\sigma = 5 \text{ b}$)

D-T generator : HV transformator (do 300 kV) + akceleratorna cijev

Ionizacija deuterija RF oscilatorom i ubrzanje električnim poljem

Eksperimentalni postav

Vakuumski sustav: predpumpa + turbomolekularna pumpa

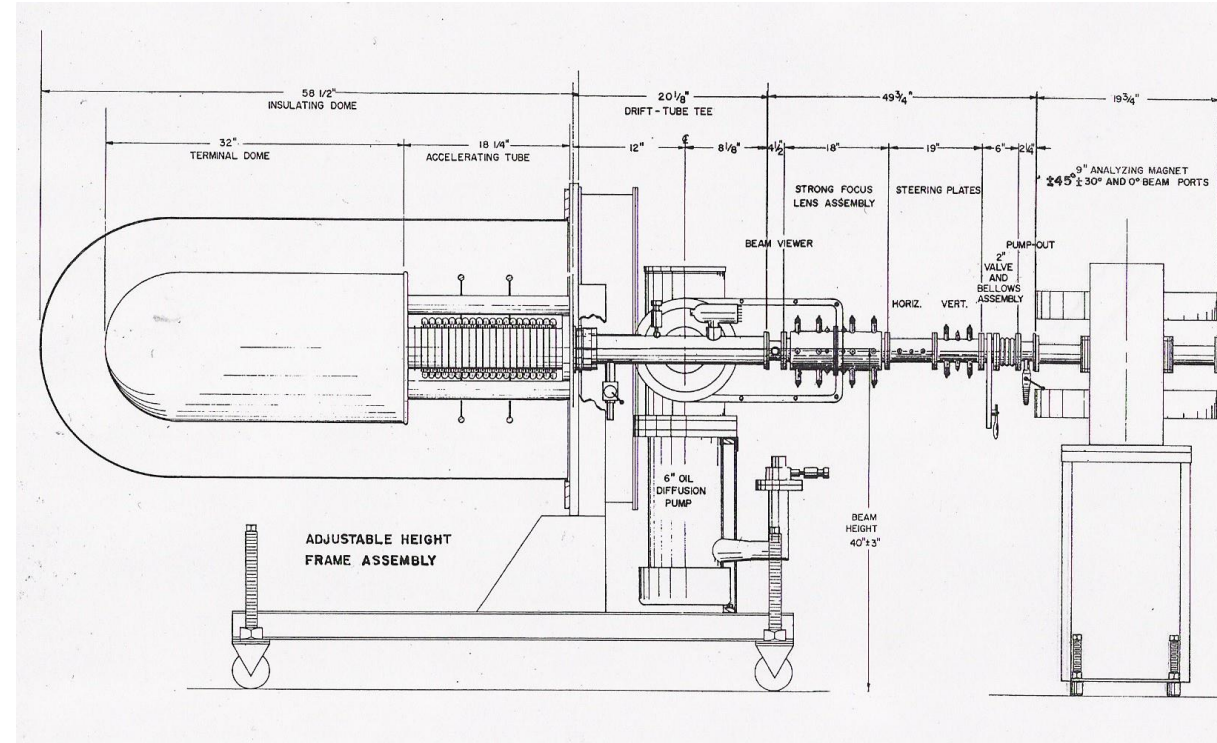
Magnetskim poljem ionski snop se zakreće za $\pm 30^\circ$

Tricij je stacionaran u produkcijskoj meti

Tipičan tok neutrona $10^7 \text{ s}^{-1} (4\pi)^{-1}$

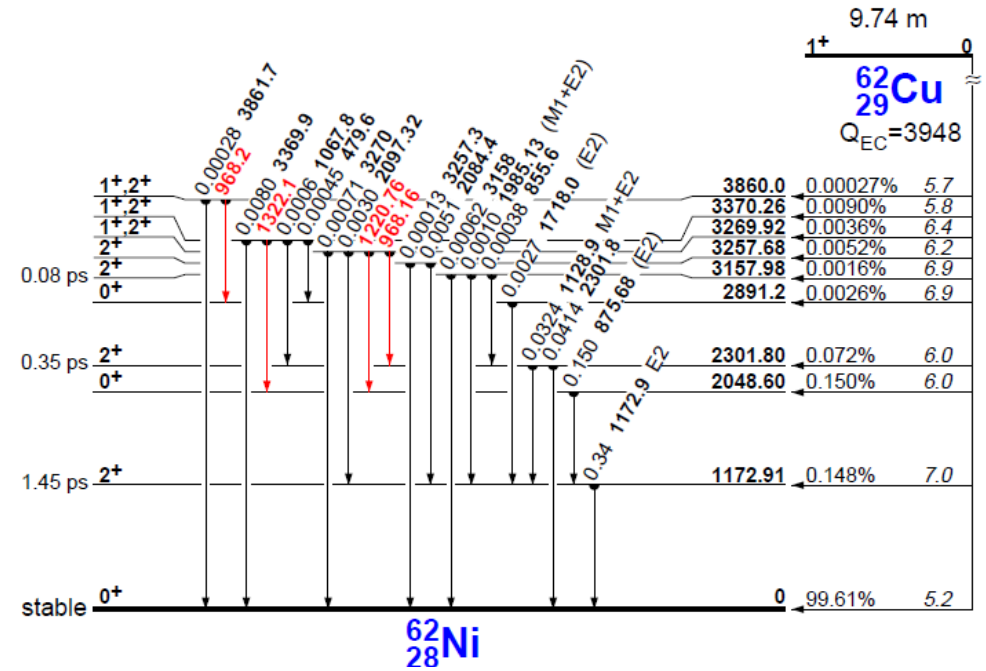
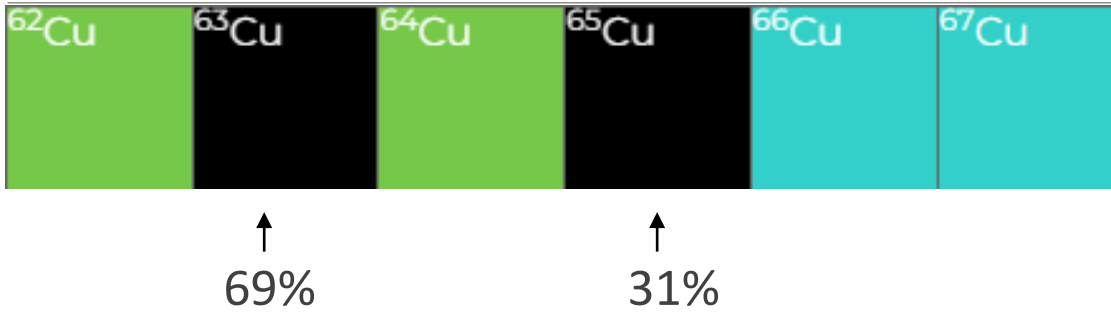
Detekcija zračenja aktiviranog uzorka: scintilacijski detektor [NaI(Tl)] + digitalna akvizicija

Raspon detekcije: 60 keV – 5 MeV



Shema akceleratora

Bakar

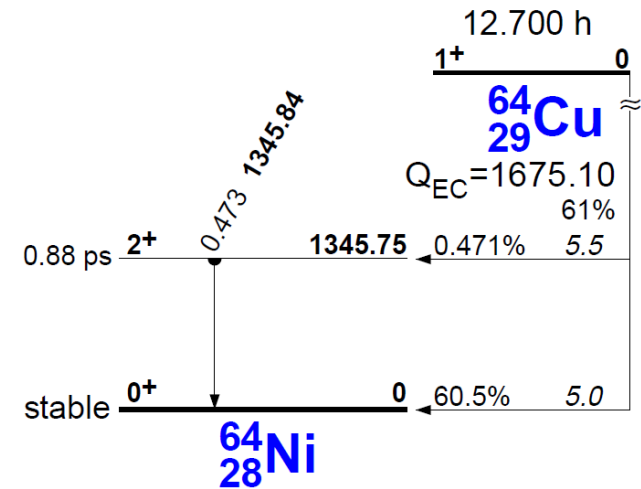


(n,2n) reakcijama nastaju β^+ emiteri

Detektiramo gama fotone $E = 511 \text{ keV}$ iz anihilacije

Komponente se raspadaju nezavisno

$$N(t) = C_1 2^{-t/T_1} + C_2 2^{-t/T_2} + N_0$$

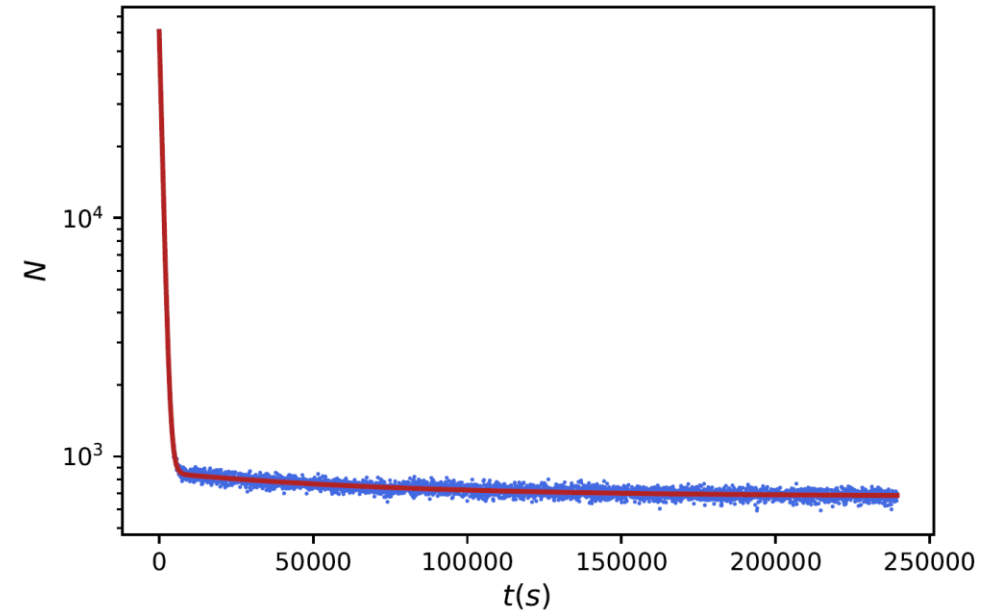


Rezultati

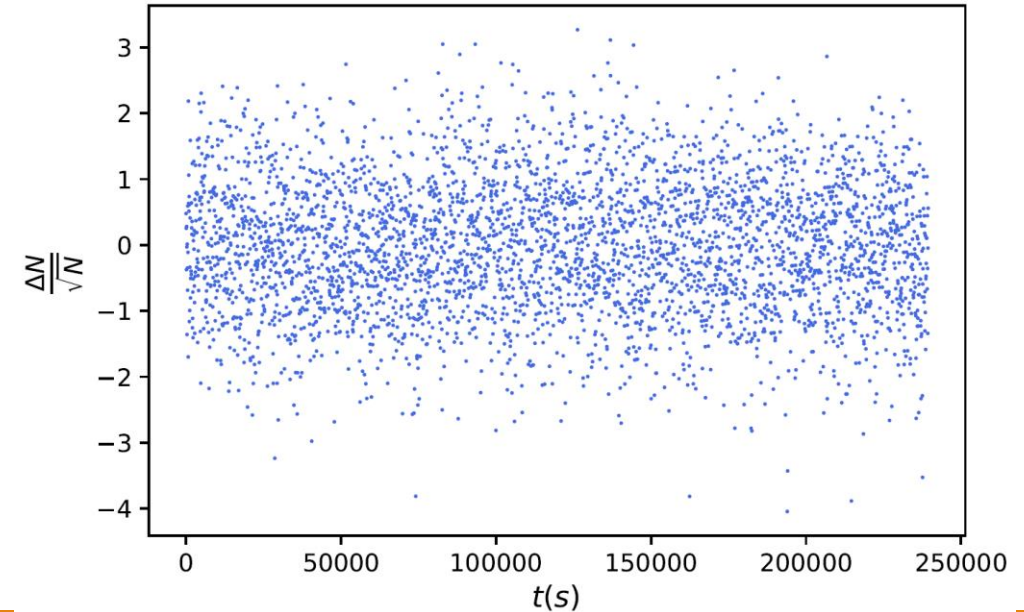
Vrijeme mjerenja 66 sati, prosječni korak 62.3s

Izotop	Izmjereno vrijeme	Tablična vrijednost ⁶
^{62}Cu	(9.719 ± 0.004) min	(9.74 ± 0.02) min
^{64}Cu	(13.7 ± 0.7) h	(12.701 ± 0.002) h

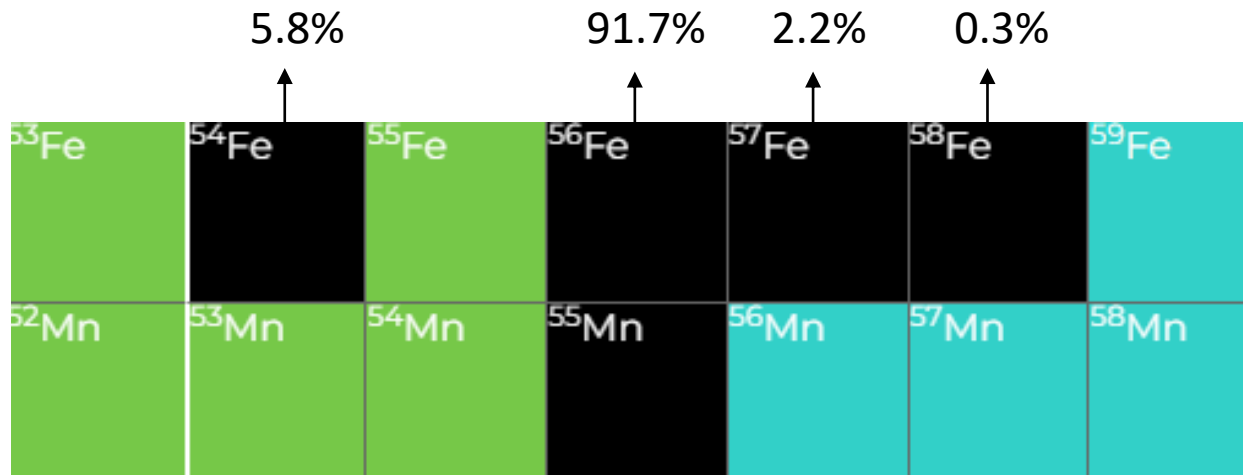
Nepouzdanost za kratkoživući izotop je manja od tablične
Veće odstupanje za dugoživući izotop



Odstupanje mjerenja i prilagodbe



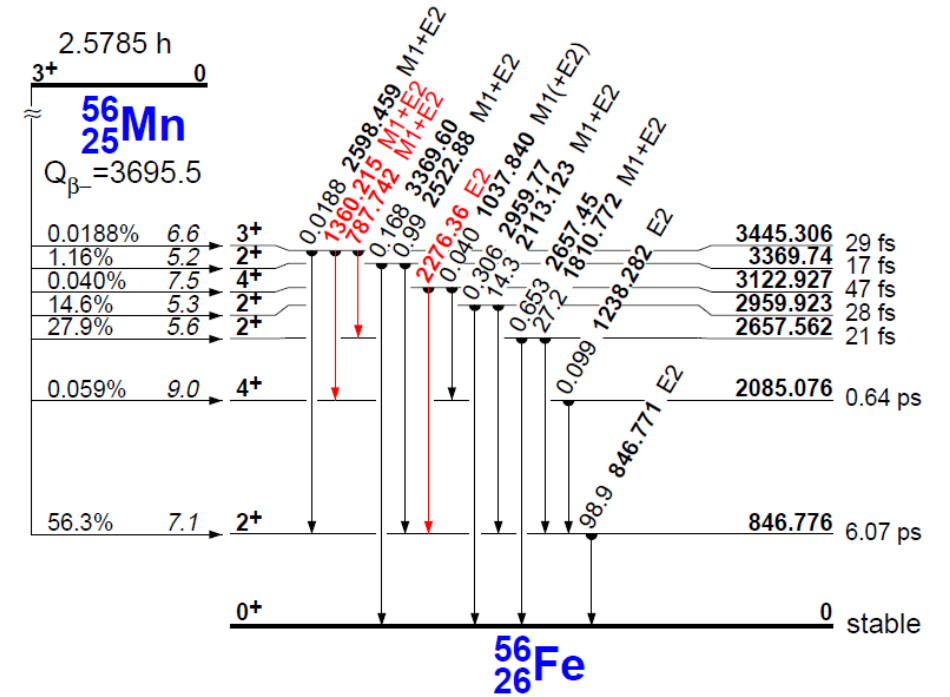
Željezo



Dominira (n,p) reakcija na ^{56}Fe

Moguće su i (n,2n) reakcije

^{56}Mn se raspada samo β^- raspadom!



Shema raspada ^{56}Mn

Rezultati

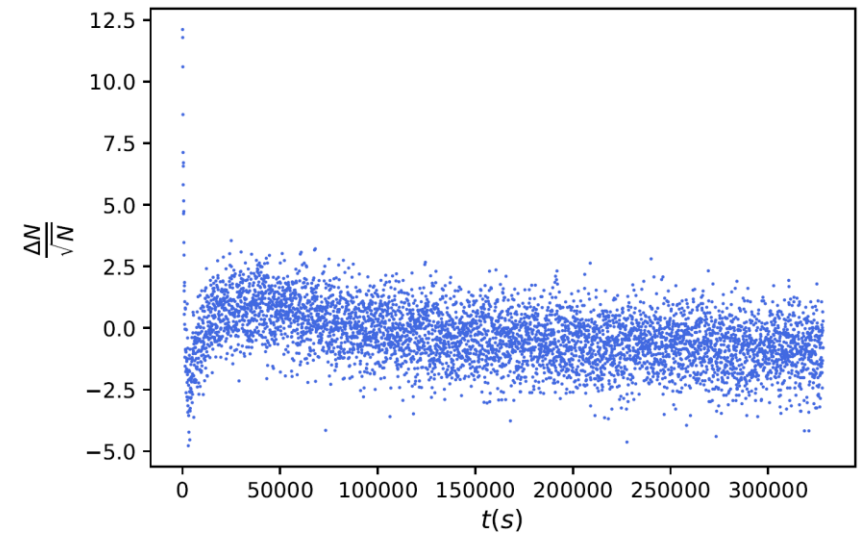
Vrijeme mjerenja 91 sat, prosječni korak 62.3s

Prilagodba na jednu eksponencijalu daje odstupanje koje ukazuje na postojanje kratkoživućeg izotopa

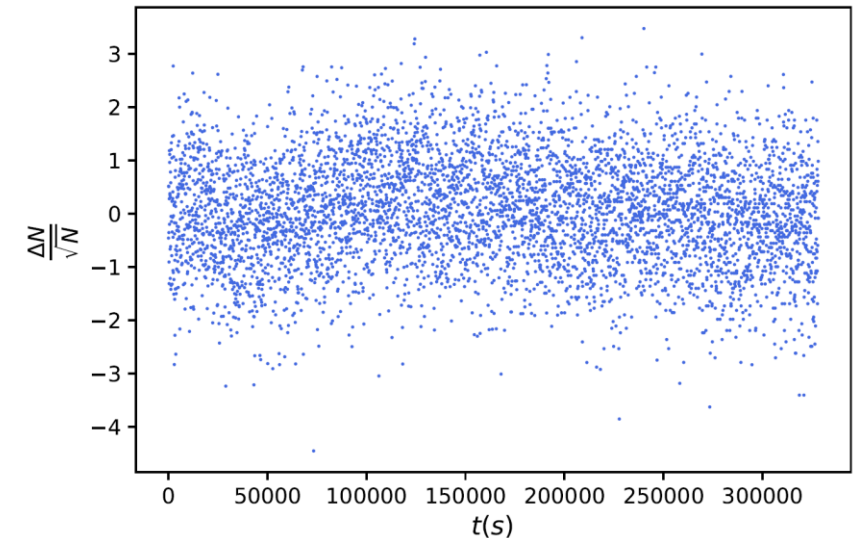
Osim ^{56}Mn pojavljuje se još jedan izotop koji po vremenu poluraspada odgovara ^{53}Fe

Reakcija $^{54}\text{Fe}(n, 2n)^{53}\text{Fe}$

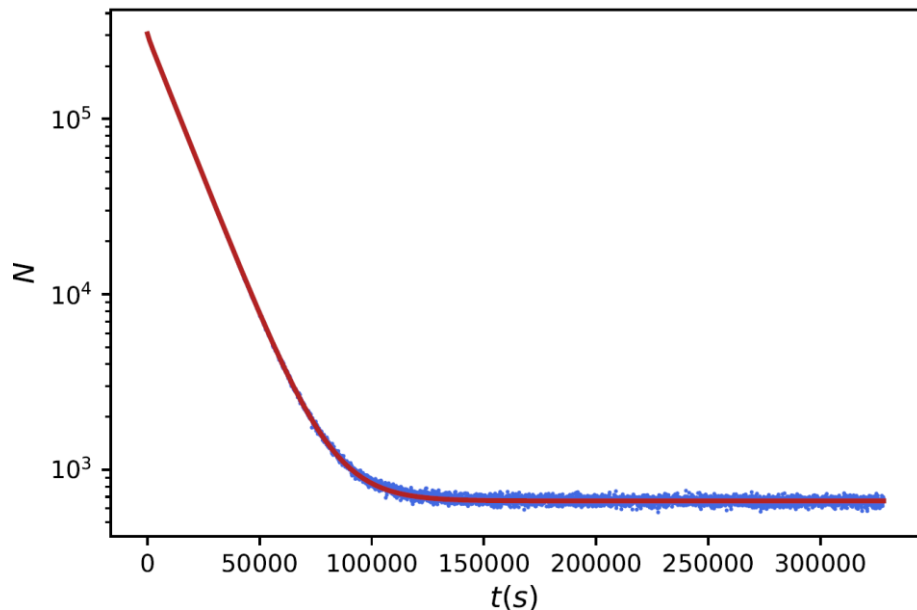
Odstupanja prilagodbe na jednu eksponencijalu



Odstupanja prilagodbe na dvije eksponencijale

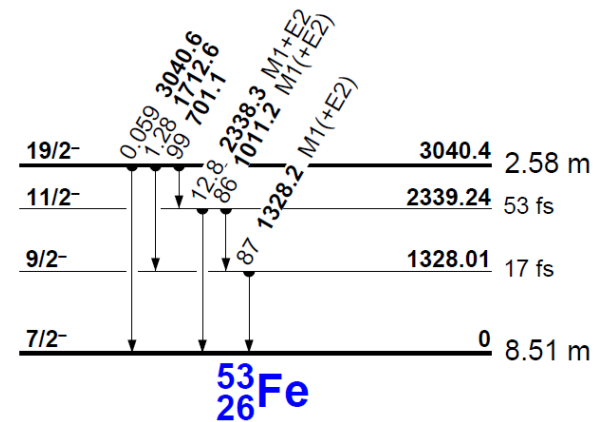


Prilagodba na dvije eksponencijale



Izotop	Izmjereno vrijeme	Tablična vrijednost ^{2,5}
⁵³ Fe	(7.9 ± 0.1) min	(8.51 ± 0.02) min
⁵⁶ Mn	(2.58 ± 0.02) h	(2.5789 ± 0.0001) h

Rezultat s jednom eksponencijalom: $T_{1/2} = (2.5702 \pm 0.0005) \text{ h}$



Shema raspada pobuđenog stanja ⁵³Fe

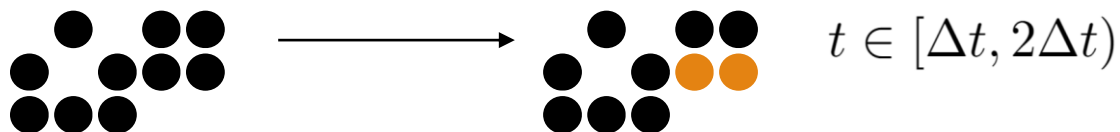
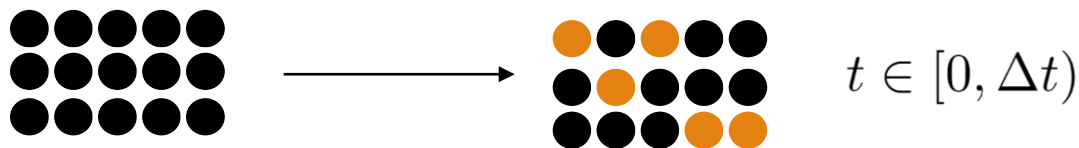
- Uzroci odstupanja za ⁵³Fe:
- Deeksitacija pobuđenog stanja
 - Izotopi ⁵⁷Mn ($T = 1.7 \text{ min}$) i ⁵⁸Mn ($T = 1.1 \text{ min}$)

Monte – Carlo simulacije

Nepouzdanost za ^{62}Cu je podcijenjena
Bolji rezultat -> korištenje podataka iz više mjerenja
Vjerojatnost da će se atom vremena poluraspada $T_{1/2}$ raspasti u intervalu Δt

$$p(\Delta t) = 1 - 2^{-\Delta t/T_{1/2}}$$

Raspad ako je slučajni broj $< p(\Delta t)$



$\Delta t = 62.3$ s

100 iteracija za simulaciju raspada bakra,

30 iteracija za željezo

Nelinearna prilagodba nakon svake iteracije

Opća srednja vrijednost rezultata

Izotop	Vrijeme poluraspada
^{62}Cu	(9.74 ± 0.02) min
^{64}Cu	(12.7 ± 0.2) h
^{53}Fe	(8.53 ± 0.05) min
^{56}Mn	(2.578 ± 0.002) h

Reference

- [1] W. R. Leo, *Techniques for Nuclear and Particle Physics Experiments* (Springer-Verlag Berlin Heidelberg, 1994)
- [2] R. B. Firestone, *Table of isotopes 8th ed.* (Wiley-VCH, Weinheim, 1999.)
- [3] R. Van Ammel, J. Paepen, S. Pomme', G. Sibbens, *Appl. Radiat. Isot.* **68** 2387-2392 (2010)
- [4] International Atomic Energy Agency, *Handbook on Nuclear Activation Cross-sections, Technical Reports Series* (IAEA, Vienna, 1974), p. 95-115.
- [5] M. S. Antony, D. Oster, A. Hackem, *J. Radioanal. Nucl. Chem., Letters* **164** (5) 303-308 (1992)
- [6] International Atomic Energy Agency, *Handbook on Nuclear Activation Data* (IAEA, Vienna, 1987), p. 266-269.